

SUPPLEMENTARY INFORMATION

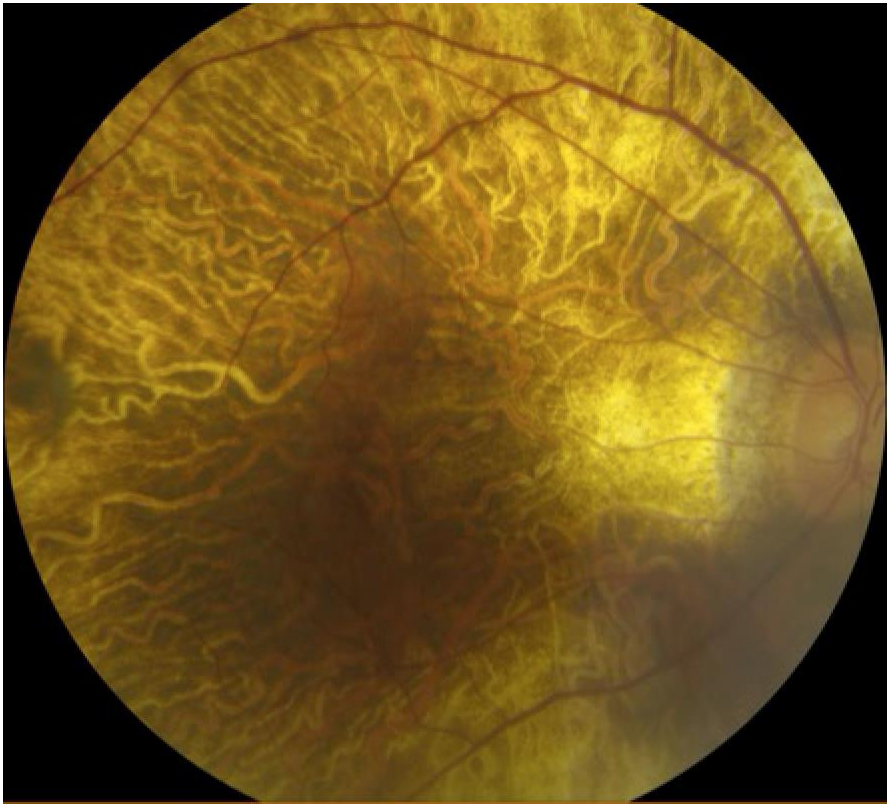
Next-generation sequencing-based molecular diagnosis of 35 Hispanic retinitis pigmentosa probands

Qi Zhang, Mingchu Xu, Jennifer D. Verriotto, Yumei Li, Hui Wang, Lin Gan, Byron L. Lam, Rui Chen

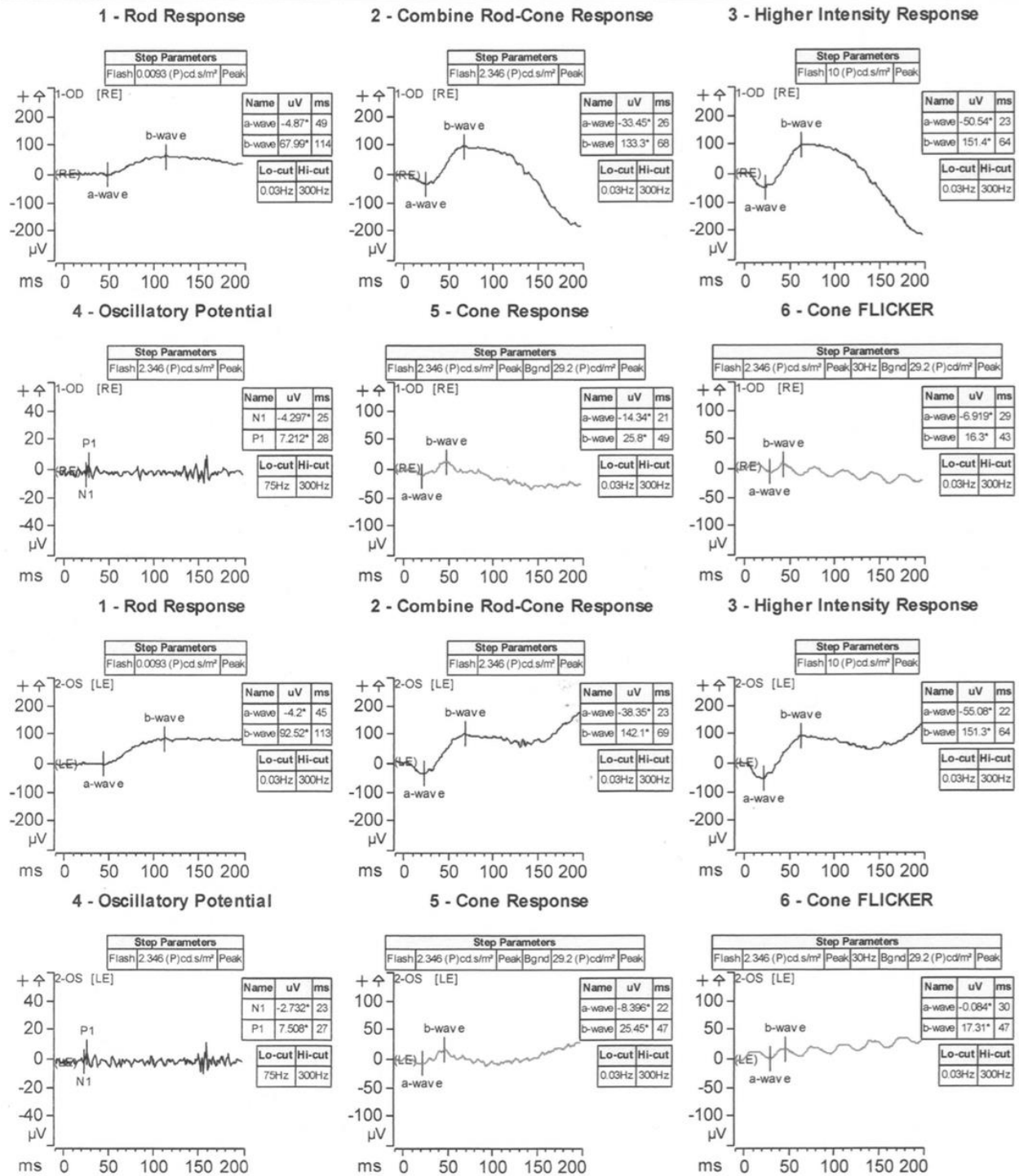
Supplementary Table 1. List of known retinal disease genes screened in this study.

<i>ABCA4</i>	<i>CDH3</i>	<i>GNAT2</i>	<i>MKKS</i>	<i>PLA2G5</i>	<i>SAG</i>
<i>ABCC6</i>	<i>CDHR1</i>	<i>GNPTG</i>	<i>MKS1</i>	<i>PRCD</i>	<i>SDCCAG8</i>
<i>ABHD12</i>	<i>CEP164</i>	<i>GPR179</i>	<i>MPV17</i>	<i>PRD</i>	<i>SEMA4A</i>
<i>ACBD5</i>	<i>CEP290</i>	<i>GRK1</i>	<i>MTTP</i>	<i>PROM1</i>	<i>SLC24A1</i>
<i>ADAM9</i>	<i>CERKL</i>	<i>GRM6</i>	<i>MYO7A</i>	<i>PRPF3</i>	<i>SLC6A5</i>
<i>ADAMTS18</i>	<i>CFB</i>	<i>GUCA1A</i>	<i>NDP</i>	<i>PRPF31</i>	<i>SNRNP200</i>
<i>ADGRA3</i>	<i>CFH</i>	<i>GUCA1B</i>	<i>NEK2</i>	<i>PRPF6</i>	<i>SPATA7</i>
<i>ADGRV1</i>	<i>CHM</i>	<i>GUCY2D</i>	<i>NMNAT1</i>	<i>PRPF8</i>	<i>TEAD1</i>
<i>AHI1</i>	<i>CIB2</i>	<i>HARS</i>	<i>NPHP1</i>	<i>PRPH2</i>	<i>TIMM8A</i>
<i>AIPL1</i>	<i>CISD2</i>	<i>HMCN1</i>	<i>NPHP3</i>	<i>PVRL1</i>	<i>TIMP3</i>
<i>ALMS1</i>	<i>CLN3</i>	<i>HTRA1</i>	<i>NPHP4</i>	<i>RAB28</i>	<i>TK2</i>
<i>ARL2BP</i>	<i>CLRN1</i>	<i>IDH3B</i>	<i>NR2E3</i>	<i>RAX2</i>	<i>TLR3</i>
<i>ARL6</i>	<i>CNGA1</i>	<i>IFT140</i>	<i>NRL</i>	<i>RB1</i>	<i>TLR4</i>
<i>ARMS2</i>	<i>CNGA3</i>	<i>IFT172</i>	<i>NYX</i>	<i>RBP3</i>	<i>TLR6</i>
<i>ATXN7</i>	<i>CNGB1</i>	<i>IFT27</i>	<i>OAT</i>	<i>RBP4</i>	<i>TMEM126A</i>
<i>BBIP1</i>	<i>CNGB3</i>	<i>IMPDH1</i>	<i>OFD1</i>	<i>RCD1</i>	<i>TMEM216</i>
<i>BBS1</i>	<i>CNNM4</i>	<i>IMPG1</i>	<i>OPA1</i>	<i>RD3</i>	<i>TMEM237</i>
<i>BBS10</i>	<i>COL11A1</i>	<i>IMPG2</i>	<i>OPA3</i>	<i>RDH12</i>	<i>TOPORS</i>
<i>BBS12</i>	<i>COL2A1</i>	<i>INPP5E</i>	<i>OPN1LW</i>	<i>RDH5</i>	<i>TREX1</i>
<i>BBS2</i>	<i>COL9A1</i>	<i>INVS</i>	<i>OPN1MW</i>	<i>RGR</i>	<i>TRIM32</i>
<i>BBS4</i>	<i>CRB1</i>	<i>IQCB1</i>	<i>OPN1MW2</i>	<i>RGS9</i>	<i>TRPM1</i>
<i>BBS5</i>	<i>CRX</i>	<i>ITM2B</i>	<i>OPN1SW</i>	<i>RGS9BP</i>	<i>TSPAN12</i>
<i>BBS7</i>	<i>CYP4V2</i>	<i>JAG1</i>	<i>OTX2</i>	<i>RHO</i>	<i>TTC8</i>
<i>BBS9</i>	<i>DFNB31</i>	<i>KCNJ13</i>	<i>PANK2</i>	<i>RIMS1</i>	<i>TTPA</i>
<i>BEST1</i>	<i>DHDDS</i>	<i>KCNV2</i>	<i>PAX2</i>	<i>RLBP1</i>	<i>TULP1</i>
<i>C1QTNF5</i>	<i>DMD</i>	<i>KIAA1549</i>	<i>PCDH15</i>	<i>ROM1</i>	<i>UNC119</i>
<i>C2</i>	<i>DTHD1</i>	<i>KIF11</i>	<i>PDE6A</i>	<i>RP1</i>	<i>USH1C</i>
<i>C21ORF2</i>	<i>EFEMP1</i>	<i>KLHL7</i>	<i>PDE6B</i>	<i>RP1L1</i>	<i>USH1G</i>
<i>C2ORF71</i>	<i>ELOVL4</i>	<i>LCA5</i>	<i>PDE6C</i>	<i>RP2</i>	<i>USH2A</i>
<i>C3</i>	<i>EMC1</i>	<i>LRAT</i>	<i>PDE6G</i>	<i>RP8</i>	<i>VCAN</i>
<i>C8ORF37</i>	<i>ERCC6</i>	<i>LRIT3</i>	<i>PDE6H</i>	<i>RP9</i>	<i>VPS13B</i>
<i>CA4</i>	<i>EYS</i>	<i>LRP1B</i>	<i>PDZD7</i>	<i>RPE65</i>	<i>WDPCP</i>
<i>CABP4</i>	<i>FAM161A</i>	<i>LRP5</i>	<i>PEX1</i>	<i>RPGR</i>	<i>WDR19</i>
<i>CACNA1F</i>	<i>FBLN5</i>	<i>LZTFL1</i>	<i>PEX2</i>	<i>RPGRIP1</i>	<i>WFS1</i>
<i>CACNA2D4</i>	<i>FLVCR1</i>	<i>MAK</i>	<i>PEX7</i>	<i>RPGRIP1L</i>	<i>ZNF408</i>
<i>CAPN5</i>	<i>FSCN2</i>	<i>MERTK</i>	<i>PGK1</i>	<i>RRM2B</i>	<i>ZNF423</i>
<i>CC2D2A</i>	<i>FZD4</i>	<i>MFN2</i>	<i>PHYH</i>	<i>RS1</i>	<i>ZNF513</i>
<i>CDH23</i>	<i>GNAT1</i>	<i>MFRP</i>	<i>PITPNM3</i>		

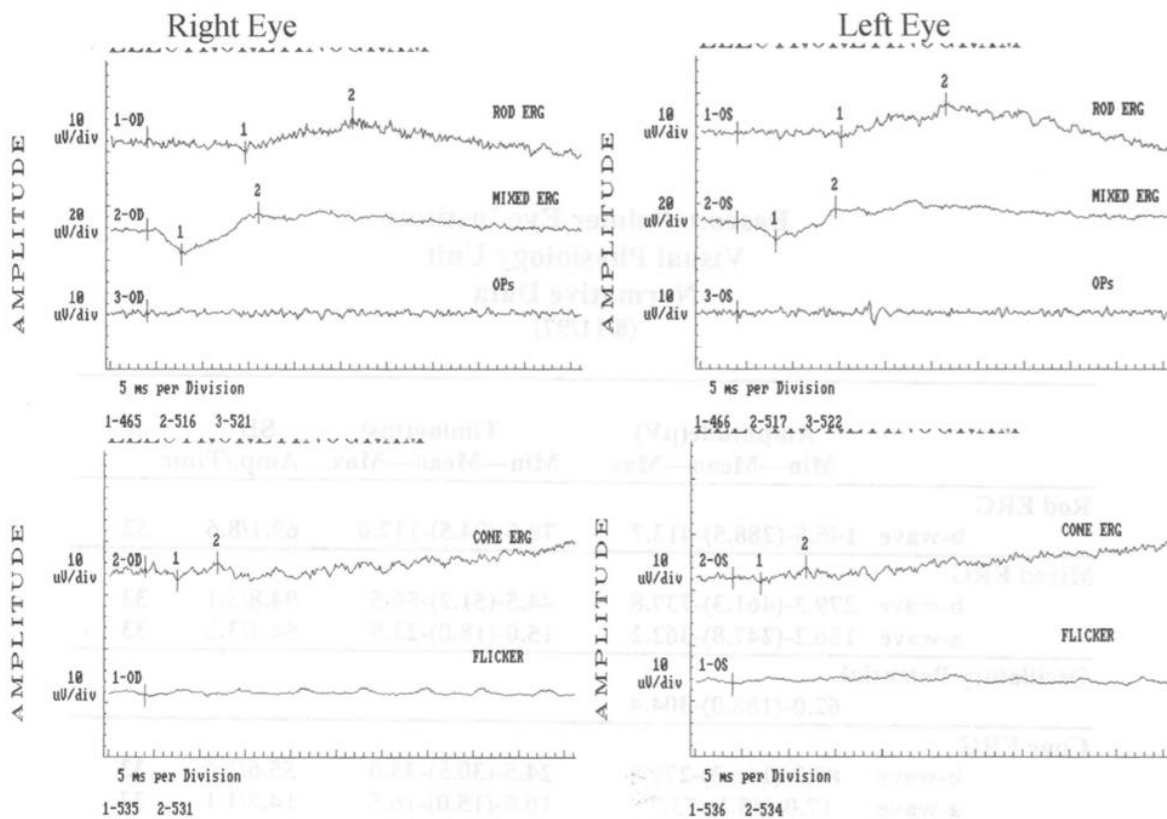
Supplementary Figure 1. The fundus photo of the *CHM* case (BLM049, OD).



Supplementary Figure 2. The ERG data of CRD case BLM066.



Supplementary Figure 3. The ERG data of CRD case BLM033.



		Amplitude (uV)		Timing (ms)	
		right eye	left eye	right eye	left eye
ROD ERG:	b-wave	32.5	29.9	111.5	112.5
MIXED ERG:	b-wave	77.9	62.7	60.5	53.0
	a-wave	45.2	39.1	18.5	20.5
OSCILLATORY POTENTIALS:					
CONE ERG:	b-wave	17.6	15.3	39.5	39.0
	a-wave	7.9	5.0	17.5	15.0
	30 Hz flicker	5.3	4.9	41.1	40.7